

est plus haute, mais dont l'atteinte de ce même r^2 ne dépasse 0.95 qu'après la réalisation de 7 cycles de flexion/extension.

Le temps de mouvement, correspondant à la durée de chaque cycle, a été déterminé du 1^{er} au 19^{ème} cycle à partir $t_{\text{cycle}+1} - t_{\text{cycle}}$ (t étant l'instant de début de chaque cycle). La moyenne des valeurs de chaque population pour chaque cycle a été déterminée et a mis en évidence que les sujets LBP ont un temps de mouvement supérieur aux NLBP du 1^{er} au 19^{ème} cycle. En effet, la durée moyenne d'un cycle pour les sujets LBP avoisine 1.826s tandis que celle des sujets NLBP est de 1.714s. Cependant, ces temps de mouvement n'ont présenté, pour aucun cycle, de valeur significativement différente (p-value > 0.05) ([Figure 10](#)).

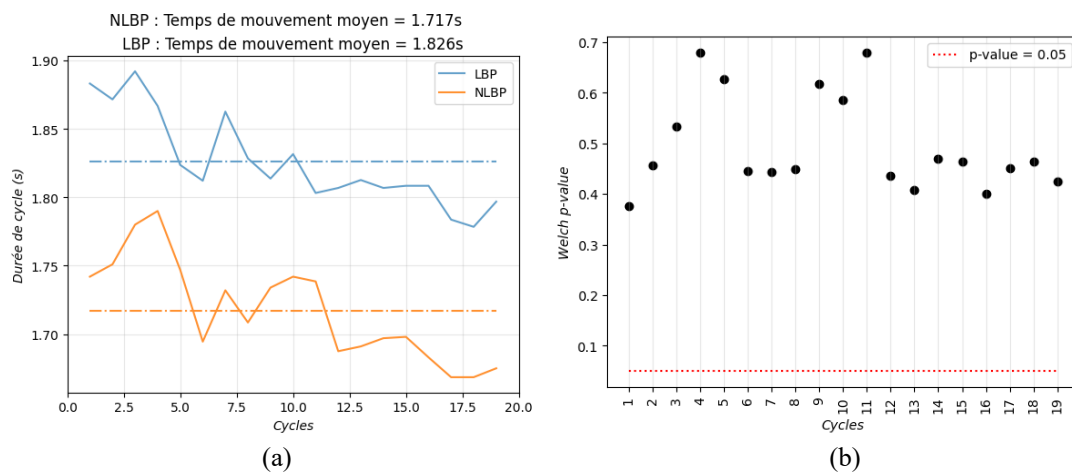


Figure 10 : Graphique représentant l'évolution de la durée moyenne de chaque cycle (a) et la p-value correspondante entre les valeurs de LBP et de NLBP (b) sur le gyroscope Y du capteur 0 (Th12)

La vitesse de pointe a elle aussi été étudiée, celle-ci représente la valeur maximale de la vitesse angulaire durant chaque cycle. Comme pour les paramètres précédents, les moyennes sont disparates, les NLBP présentent une vitesse de pointe moyenne de 115.238 deg/s, plus importante que les LBP qui elle moyenne à 101.163 deg/s. Cependant, les valeurs aux différents cycles ne présentent pas de différences significatives entre les 2 populations, 0.085 au plus proche au 3^{ème} cycle ([Figure 11](#)).